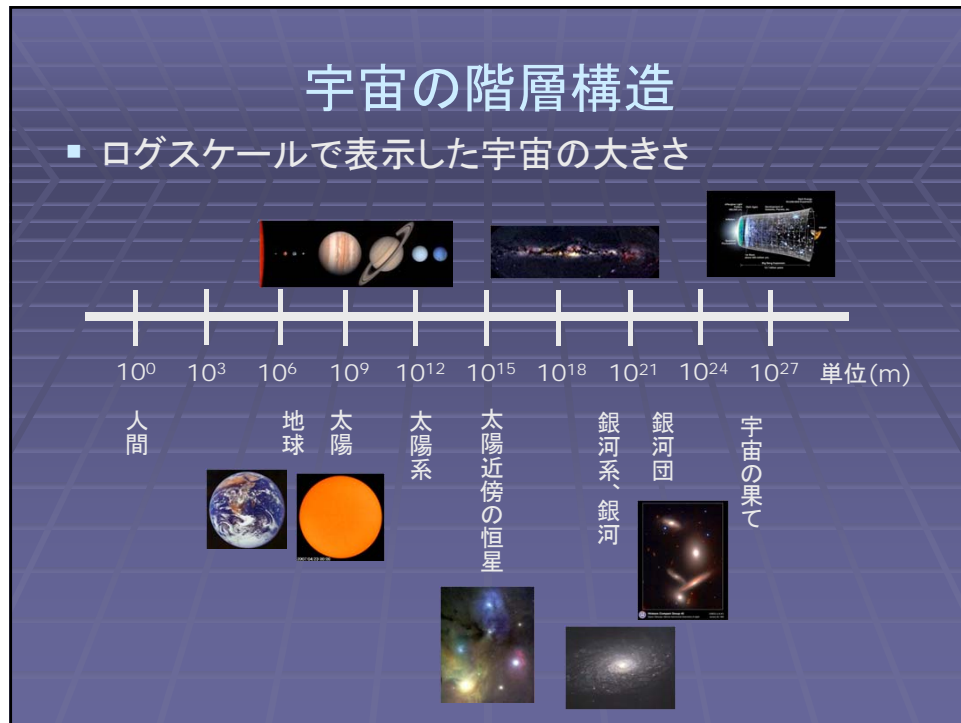


宇宙科学II（電波天文学？） 第9回

太陽系外惑星

前回の復習



中性子星とパルサー

- パルサー定期的なパルスを発する星
- 高速回転する中性子星で、超新星爆発で形成される

パルサー(中性子星)の模式図

M1 (かに星雲)
直径10km
MPFR-Bonn Pulsar Group

かに星雲：1054年に出現した超新星の残骸。この中心にもパルサーが見つかっている

連星パルサーと重力波

- 連星パルサーPSR1913+16の発見(ハルス、ティラー)
- 公転周期がわずか7.7時間
- 公転周期の変動から重力波放出を間接的に確認。

PSR 1913+16の模式図

公転周期はたったの7.7時間
2天体間は70万～350万km

アレシボ望遠鏡

太陽系外惑星

太陽系外惑星探査

- 太陽系のような惑星系は普遍的に存在するか?
 > 人類の根源にかかる現代天文学の重要課題
- 1990年代に最初の系外惑星が発見され、2011年までに500個を超える系外惑星が知られている。
- その多くは、太陽系とかけ離れた惑星系！



太陽系

太陽系のおさらい

- 太陽系の惑星は、様々な種類がある
岩石惑星(水、金、地、火)
巨大ガス惑星(木、土)
氷惑星(天、海)



生命誕生に必要な条件 — 海の存在

- 岩石惑星
- 液体の水が存在する温度にある (主星からの適度な距離)

最初の惑星検出: パルサー一周回惑星!

- 最初に見つかった太陽系外惑星
- PSR 1257+12, 周期 6 msのパルサー
(Wolszczan et al. 1992)

A planetary system around the millisecond pulsar PSR1257+12

A. Wolszczan* & D. A. Frail†

* National Astronomy and Ionosphere Center, Arecibo Observatory,

Arecibo, Puerto Rico 00613, USA

† National Radio Astronomy Observatory, Socorro, New Mexico 87801,
USA

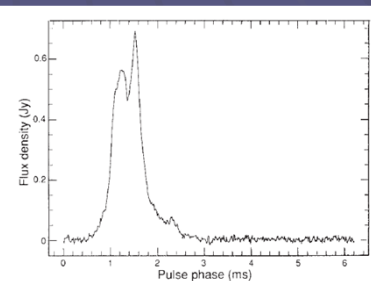
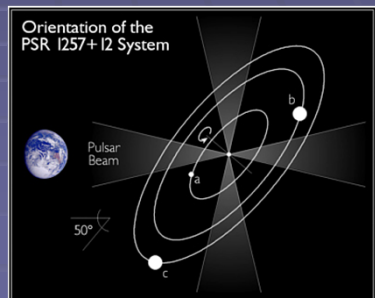
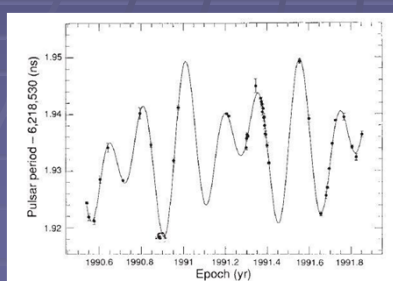


FIG. 1. The average pulse profile of PSR1257+12 at 430 MHz. The effective time resolution is ~12 μs.

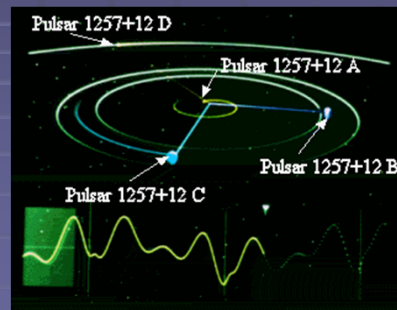
PSR1257+12

- パルスタイミングの残差が2惑星モデルでフィットできる
- パルサーの周りに地球の3倍程度の惑星が2個存在！主星からの距離0.4 AU、周期67, 98 day
- パルサーの回転変化から光度を求め、惑星の黒体輻射温度を求める $T \sim 670$ K
- とても生命が存在できない（いたとしても超新星爆発でほろんだ？）



PSR1257+12

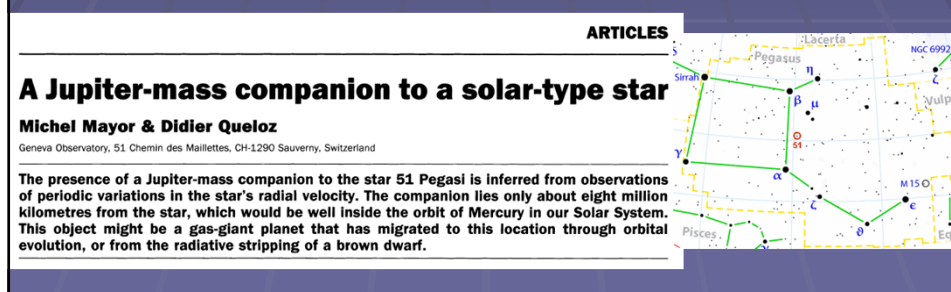
- その後、さらに小さい3つ目の惑星（地球の2%）、彗星相当?の微小天体（地球の2000分の1）も発見されている !!



51 Pegasi

ペガサス座51番星

- 太陽から51光年離れた5等星(普通の星)
- Mayor & Queloz (1995) が恒星周囲の初の惑星を発見(引用数1315!)

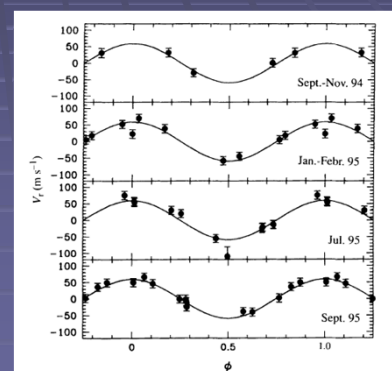


51 Peg a & b

- 主星は太陽と同様な恒星
質量~1 Msun、温度 ~5600 K
- ドップラー法で主星のふらつきを検出
- 惑星は木星の0.5倍程度
周期4.2日、軌道半径~0.05 AU
太陽系と全然違う！



51 Peg

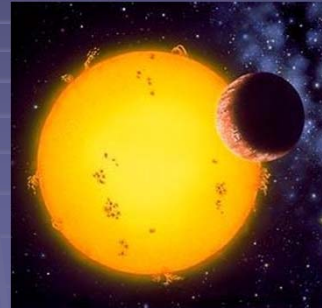
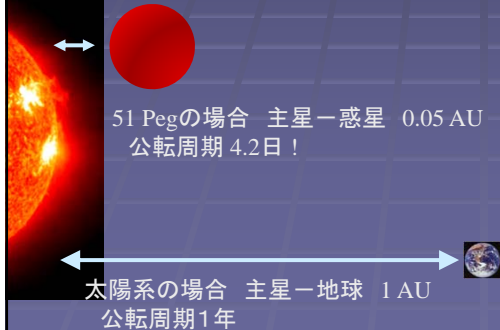


視線速度変化

51 Peg b : ホットジュピター

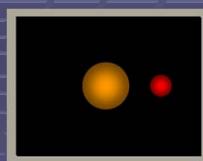
- 主星のすぐそばを回る巨大惑星(重さ~0.5木星質量程度)
推定表面温度 ~1300 K > ホットジュピター

太陽系と51 Pegとの比較



太陽系外惑星の観測手法

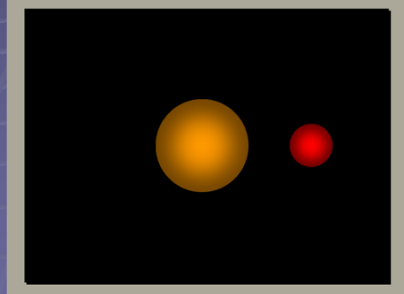
- パルサーティミング
最初の系外惑星発見 (1992年~)
- ドップラー法 (主星の視線速度変化)
恒星周囲の最初の惑星発見 (1995年~)
- トランジット法 (惑星による食、1999年~)
- 直接撮像法 (2004年~)
- 重力マイクロレンズ法 (2005年~)



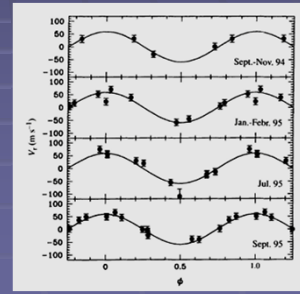
現在、ドップラー法による発見が最も多く(400個超)、
次いでトランジット法が多い(100個程度、一部重複)。それ以外の方法は数例~10例程度

ドップラー法

- 最も発見数が多いのは、視線速度法
惑星の公転の影響による、主星のふらつきを観測
(ドップラー効果)
51 Pegをはじめ、多くの惑星はこの方法による



惑星の公転による主星のふらつき



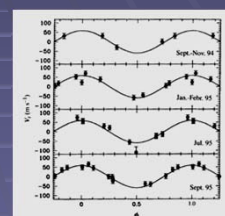
51 Pegの視線速度の変化

ドップラー速度の期待値

- 主星は主星と惑星の重心のまわりを動く
円軌道を考え、 $M_p \ll M_*$ とすると主星のふらつく

速度 V^* は $V_* \sim M_p/M_* \times V_p$
 $V_p \sim (GM_*/r)^{1/2}$

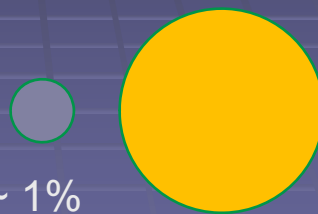
- 太陽系の場合、
木星 : $V_p \sim 13 \text{ km/s}$, $V^* \sim 13 \text{ m/s}$
地球 : $V_p \sim 30 \text{ km/s}$, $V^* \sim 0.1 \text{ m/s}$



1 m/s(光速比 3億分の1)を切る超高精度が必要
c.f. 人間が歩く速さ ~ 1 m/s !!

トランジット法

- 恒星の前を惑星が横切る「食」を利用する。
- 主星と惑星の面積比で主星の減光割合が決まる。
- $\Delta F/F \sim R_p^2/R_s^2$
- 太陽一木星なら $\Delta F/F \sim 1\%$
- 太陽一地球なら $\Delta F/F \sim 0.01\%$
観測は単純、精密な測光が必要



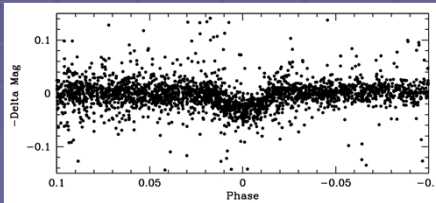
金星の日面通過

- 地球から見える太陽系内天体のトランジットの例
- 次回は2012年6月6日
- その次は2117年, 2125年
- 前回は2004年6月8日
- 前々回は1874年、1882年
(当時、1天文単位の測定
に利用された)



WASP

- Wide Angle Search for Planets
2000年～
- 11 cmのカメラ×8台で
トランジット探査
- 50個程度の惑星を検出

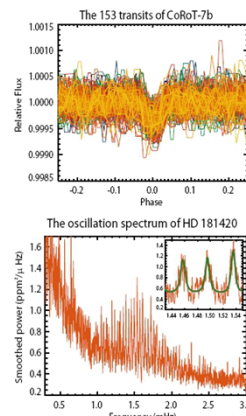




Corot(コロ一)衛星

- 欧州宇宙機関(ESA)の惑星探査衛星
- 口径30cmの光学衛星
- 惑星探査(transit)と
星振学の研究
- 2006年12月打ち上げ
2013年まで運用予定
- 現在までに~15個の
惑星を発見

The CoRoT space mission: early results

ケプラー衛星

- NASAの惑星探査衛星
- 2009年3月打ち上げ
計画寿命~3.5年
- 口径0.9m光学望遠鏡搭載
- 白鳥座方向で約15万個の星で惑星探査(transit法)
- 現在までに~15個の惑星を発見

The diagram shows the Kepler satellite with various components labeled: Sun Shade, Photometer, CCD Radiator, High Gain Antenna, Thruster Modules (x), Star Trackers (2), Solar Array, and a detailed view of the instrument. Below the satellite is a star map of the Cygnus region, including stars Deneb, Vega, Altair, and Alpheus, and constellations Cygnus, Lyra, Aquila, and Lyra. The 'Kepler Field of View' is indicated by a rectangular box.

直接撮像法

- 天体写真上で主星と惑星をとらえる。
- 高いコントラストと解像度を必要とし、極めて難しい
- 太陽系を10 pcの距離に置いた場合
 - $m_{\text{sun}} = 4.8 \text{ mag}$
 - $m_{\text{jup}} \sim 23 \text{ mag}, \theta \sim 0.5''$
 - $m_{\text{ear}} \sim 30 \text{ mag}, \theta \sim 0.1''$

主星から離れた惑星が見やすい
すばるが見たGJ758の惑星

A direct image of the GJ 758 star system. The star is a bright central point of light. Three planets are visible as smaller points of light at a distance from the star. The top planet is labeled 'GJ 758' in green. The middle planet is labeled 'C?' in green, with a green circle around it. The bottom planet is labeled 'B' in green, with a green circle around it. A legend in the top right corner indicates distances: 海王星と太陽の距離 (Distance from Neptune to the Sun), 木星と太陽の距離 (Distance from Jupiter to the Sun), and 地球と太陽の距離 (Distance from Earth to the Sun).

GJ758

- 主星から30AU程度の距離に
木星の数十倍の惑星(?)

重力マイクロレンズ法

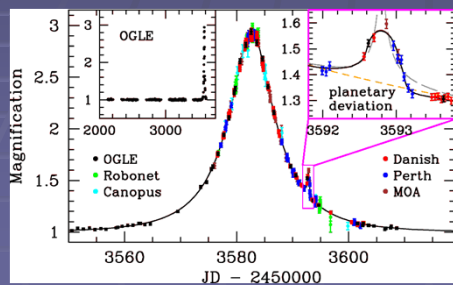
- 星による重力レンズ
背景の星の前を重力源が横切るとレンズとして
働き、多重像が発生
ただし、多重像の離角が小さく分解不可能
> マイクロレンズ（増光が見える）

※レンズ天体（通常は恒星）の周囲に惑星があると、増光に異常
ができる。

マイクロレンズによる惑星探査例

- 長所: 太陽から遠い星で、主星から離れた惑星も探せる。
- 短所: まったくの偶然で起こる現象なので、周期性なし。
追観測ができない。

OGLE-2005-BLG-390: 太陽からの距離 2万光年
地球の5倍、主星からの距離~3 AU (2006年発見)



OGLE-2005-BLG-390の光度変化

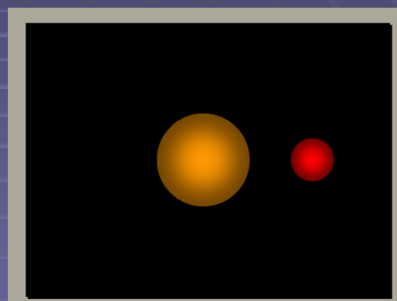


OGLE-2005-BLG-390の想像図

位置天文法

- 主星の揺らぎを、位置変化を使って求める方法。
- 主星から離れた惑星に
感度がある。
- 太陽の場合、木星による
ふらつき量 Δr は、
$$\Delta r \sim r \times M_p/M_*$$

$$\sim 1/200 \text{ AU}$$
- 年周視差の数百分の1の
測定精度が必要。
- 位置天文法による惑星探査は今後の課題

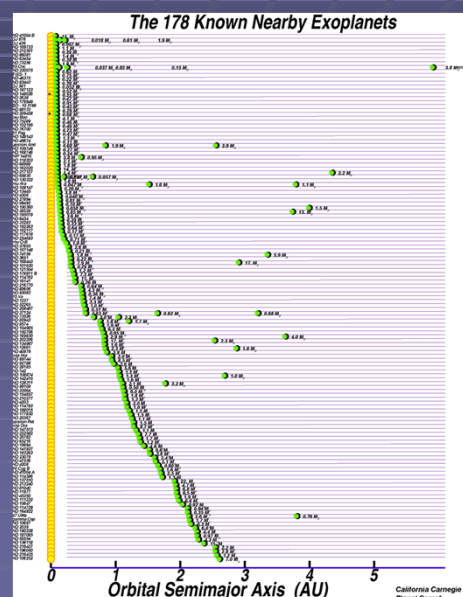


観測手法のまとめ

- パルサーテイミング
数個、ただし超高精度
- ドップラー法
~400個、主星に近い惑星
- トランジット法
~100個、主星に近い惑星
- 直接撮像法(2004年~)
~20個、主星から遠い惑星
- 重力マイクロレンズ法
~10個、主星から数AU前後に感度
- 位置天文法（今後）

系外惑星の現状

- これまでに見つかった惑星系は、太陽系と大きく異なるシステムが多い
- 木星型が主星の近傍を回るものが多い(ホットジュピター)
ただし観測手法によるバイアスもある
- 地球型惑星の検出はまだ(あともう一歩)

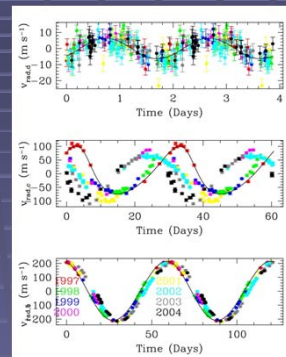


興味深い系外惑星たち

グリーゼ 876:3重惑星系

- GI 876 (グリーゼ876)
みずがめ座、距離15光年
複数の惑星が存在

周期60日、木星サイズ
周期30日、木星サイズ
周期2日、地球の6倍、
岩石型、ただし、約300°C !



GI 876cの視線速度変化



GI 876d の想像図

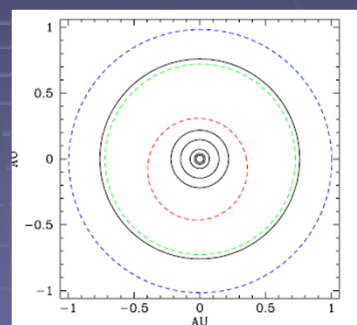
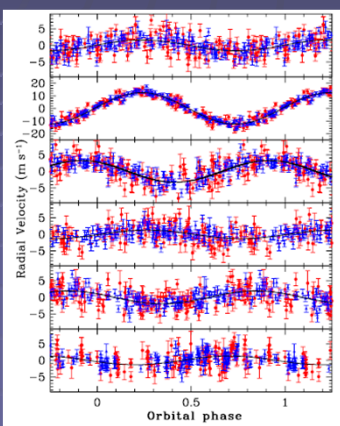
グリーゼ 581

- 太陽から20光年にある10.5等星
- 質量 $\sim 0.3 \text{ Msun}$ 、半径 $\sim 0.3 \text{ Rsun}$
- 表面温度 3500 K
- 太陽よりも軽くて暗い星



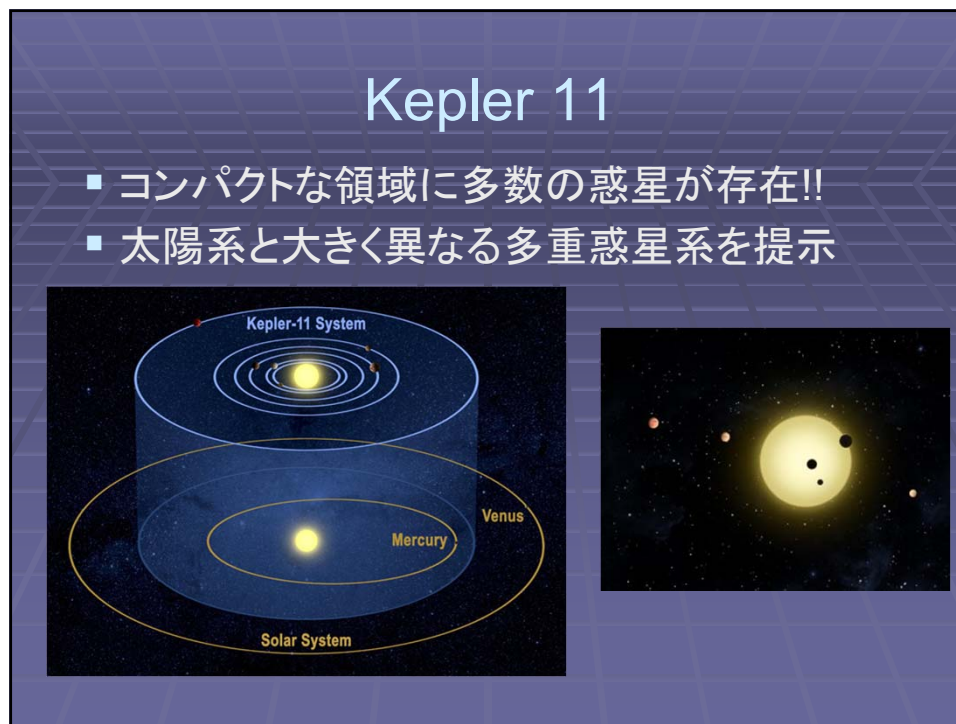
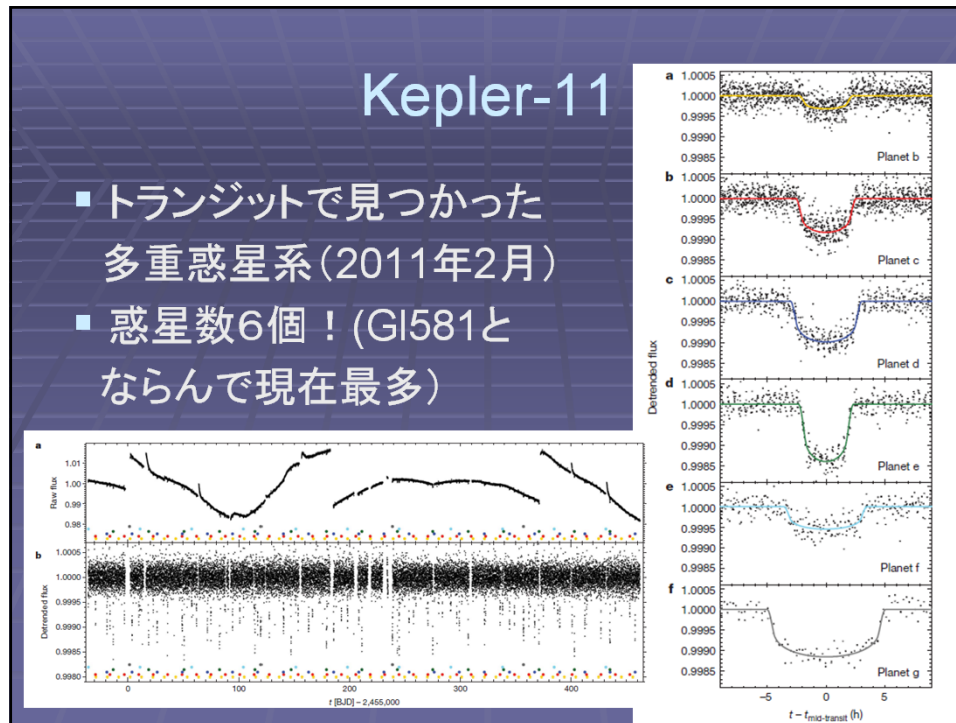
Gl581の観測

- ドップラー法により、周期5日～430日の惑星を6個確認(多重惑星の最多記録)



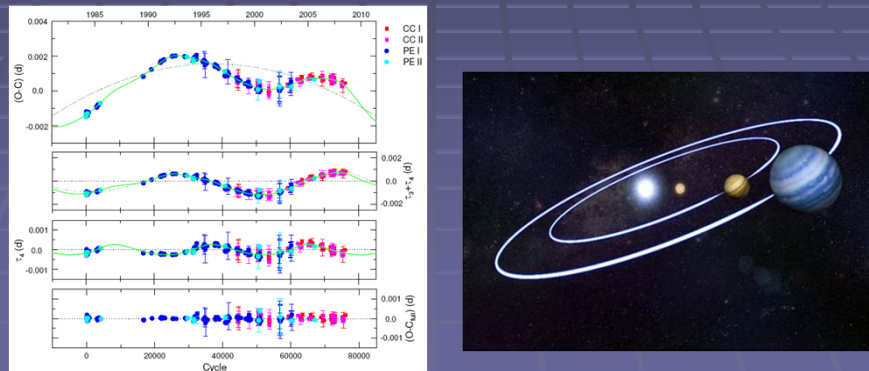
太陽系との軌道比較
(Vogt+2010)





HW Vir

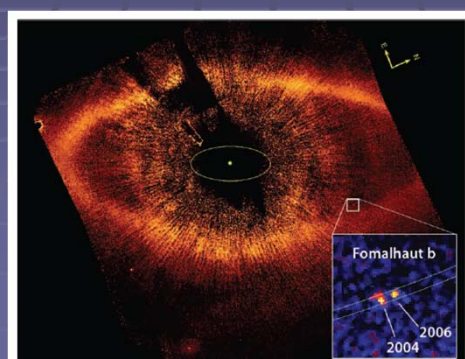
- 連星(2つの太陽)を巡る惑星系(2個)
- 食連星のタイミング観測で検出



Lee+(2010)

フォーマルハウト b

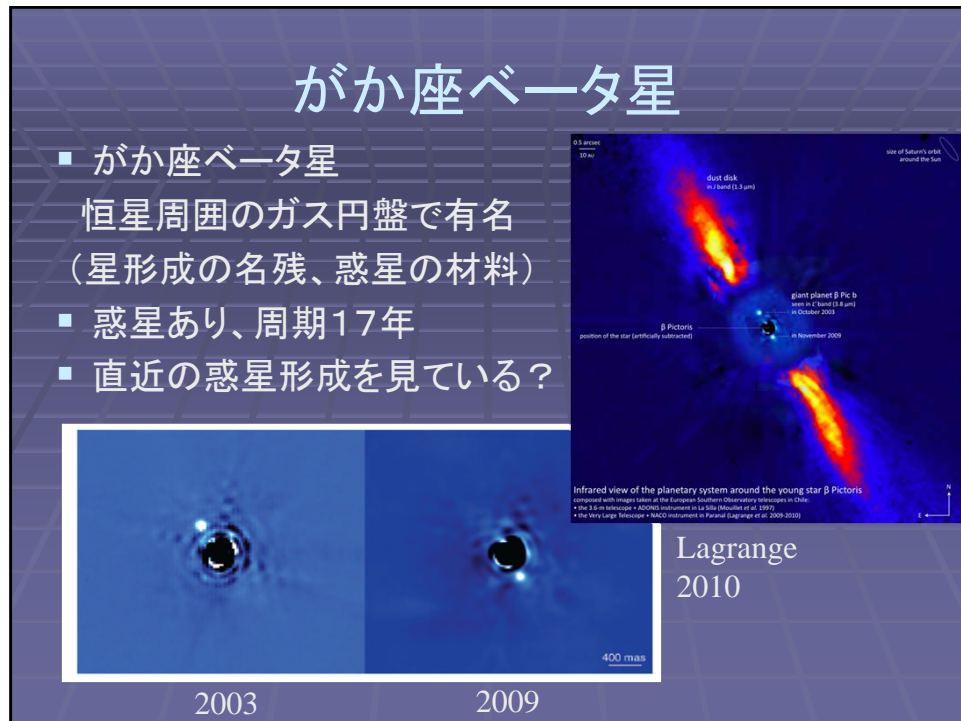
- みなみのうお座の1等星、距離25光年
- 質量は太陽の約2倍
- 主星から115AUに木星の数倍の惑星(直接撮像)。
- 周期~870年



HSTの画像
Kalas+2007

がか座ベータ星

- がか座ベータ星
恒星周囲のガス円盤で有名
(星形成の名残、惑星の材料)
- 惑星あり、周期17年
- 直近の惑星形成を見ている？



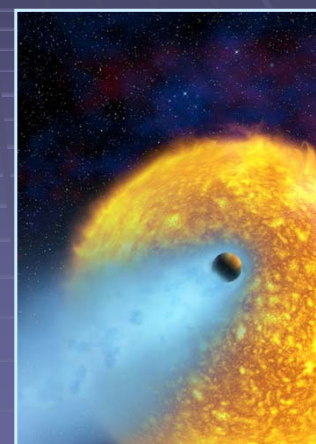
HD209458 と惑星オシリス

- HD209458 (ペガサス座) にあるホットジュビター

質量 0.7 木星質量
 公転半径 0.045 AU
 周期 3. 5日
 表面温度 約1200°C

大気の存在が初めて確認された。
(ナトリウム、酸素、炭素etc)

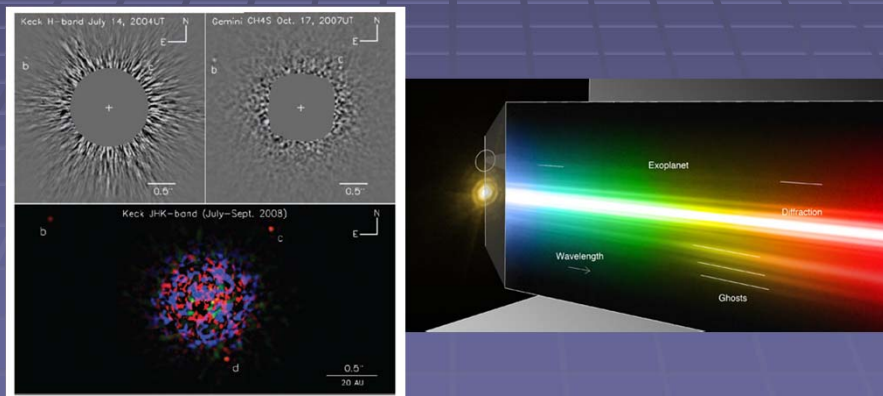
しかし、温度が高いので
生命の存在は難しい。



HD209458とオシリスの想像図

HR8799

- 直接撮像による複数の惑星系
- 2010年、VLTによって初めて惑星の光が分光された。惑星の性質を直接調べる第一歩!



系外惑星研究の将来

- 地球型惑星の検出
- ハビタブルゾーンの惑星検出
- 惑星大気の検出
- バイオマーカー検出

...

そして、

宇宙生物学？

SETI？ ...

SETI: ATA (Allen Telescope Array)

- SETI (地球外知的生命体探査)用の望遠鏡
- 米国のSETI研究所とUCバークレーが運用主体
- 口径6mのアンテナを350台建設し、地球外知的生命体からの電波を捉えることを目的とする
(現在建設中、一部稼動中)
- 名前は寄付者のPaul Allen (Microsoft設立者)にちなむ



成果はもちろんまだ。しかし、本気でSETIをやっている！